

บทที่ 2

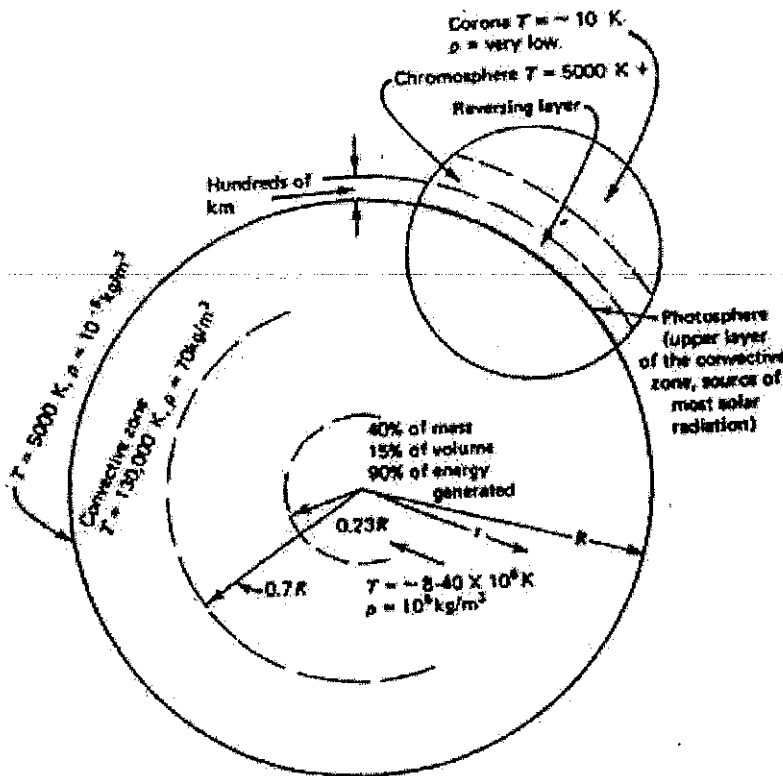
หลักการและทฤษฎี

2.1 รังสีอาทิตย์^[3]

2.1.1 ดวงอาทิตย์ เป็นกลุ่มกําชร้อนรูปทรงกลมที่มีความหนาแน่นสูง มีเส้นผ่านศูนย์กลางประมาณ 1.39×10^9 เมตร และมีระยะห่างเฉลี่ยจากโลกประมาณ 1.5×10^{11} เมตร เมื่อสั้งเกตจากโลกดวงอาทิตย์จะใช้เวลาในการหมุนรอบตัวเองประมาณ 4 สัปดาห์ อย่างไรก็ตามดวงอาทิตย์ไม่ได้หมุนอย่างของแข็ง การหมุนรอบตัวเองของดวงอาทิตย์ที่บริเวณศูนย์สูตรจะใช้เวลาประมาณ 27 วัน และสำหรับบริเวณขั้วโลกจะใช้เวลาประมาณ 30 วัน

ดวงอาทิตย์เปรียบเสมือนวัตถุดำที่มีอุณหภูมิประดิษฐ์ผล 5,777 K อุณหภูมิที่จุดศูนย์กลางของดวงอาทิตย์ประมาณ 8×10^6 ถึง 40×10^6 K และมีความหนาแน่นประมาณ 100 เท่าของความหนาแน่นของน้ำ ดวงอาทิตย์เปรียบได้กับเตาปฏิกรณ์ที่เกิดปฏิกิริยาฟิวชันของกําชาที่เป็นส่วนประกอบอย่างต่อเนื่อง พลังงานคลื่นแม่เหล็กที่แผ่ออกมากจากดวงอาทิตย์เป็นปฏิกิริยาที่ได้จากปฏิกิริยาการแตกตัววัตถุชนิดปฏิกิริยาที่สำคัญที่สุดปฏิกิริยานี้ คือ การรวมตัวของไฮโดรเจนเป็นฮีเลียม มวลของนิวเคลียสของฮีเลียมมีค่าน้อยกว่ามวลของไฮโดรเจน มวลส่วนที่หายไปคือมวลที่เปลี่ยนรูปไปเป็นพลังงาน พลังงานนี้จะเกิดขึ้นภายในดวงอาทิตย์ที่อุณหภูมิหลายล้านเคลวิน พลังงานนี้จะถ่ายเทมาที่ผิวของดวงอาทิตย์และแผ่ออกสู่อวกาศ

2.1.2 โครงสร้างดวงอาทิตย์ รูปที่ 2.1 แสดงโครงสร้างของดวงอาทิตย์ ประมาณ 90% ของพลังงานที่ปลดปล่อยออกมายากจากดวงอาทิตย์จะเกิดที่บริเวณแกนกลางดวงอาทิตย์ถึงที่บริเวณ $0.23R$ (เมื่อ R คือ รัศมีของดวงอาทิตย์) ซึ่งบริเวณดังกล่าวมีน้ำหนักประมาณ 40% ของน้ำหนักทั้งหมดของดวงอาทิตย์ จากจุดศูนย์กลางดวงอาทิตย์ไปถึงบริเวณ $0.7R$ อุณหภูมิจะลดลงเหลือประมาณ $130,000K$ และความหนาแน่นจะลดลงเหลือ 70 kg.m^{-3} ที่บริเวณนี้เริ่มนีการถ่ายเทความร้อนโดยการพานะ และเริ่กบริเวณ $0.7R$ ถึง R ว่าบริเวณของการพาความร้อน (Convection Zone) ในบริเวณนี้อุณหภูมิจะลดลงเหลือประมาณ $5,000 K$ และมีความหนาแน่นประมาณ 10^5 kg.m^{-3}



รูปที่ 2.1 แสดงโครงสร้างของดวงอาทิตย์

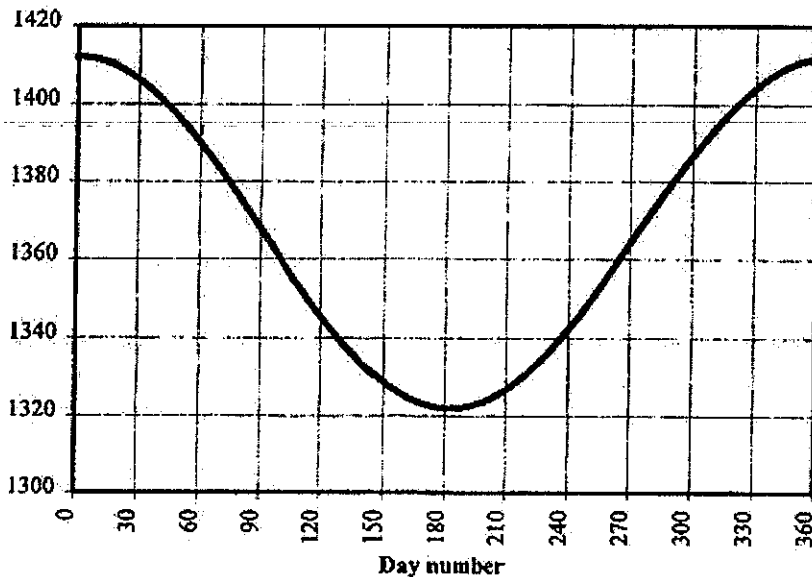
2.1.3 ค่าคงที่แสงอาทิตย์

โลกจัดรอบดวงอาทิตย์โดยที่วงโคจรของโลกรอบดวงอาทิตย์ไม่เป็นวงกลมด้วยเหตุนี้จะทำให้ระหว่างโลกกับดวงอาทิตย์ซึ่งมีค่าไม่เท่ากันที่เวลาใดๆ ไม่เปลี่ยนแปลงประมาณ 1.7% ระหว่างเฉลี่ยระหว่างโลกและดวงอาทิตย์มีค่าประมาณ โดยมีค่าเปลี่ยนแปลงประมาณ 1.495×10^{11} เมตร ค่าความเข้มรังสีอาทิตย์ที่ตกรอบพื้นที่หนึ่งหน่วยเนื้อที่บนราษฎร์โลกที่เวลา 1.495x10¹¹ เมตร ค่าความเข้มรังสีอาทิตย์ที่ตกรอบพื้นที่หนึ่งหน่วยเนื้อที่บนราษฎร์โลกที่เวลา 1.495x10¹¹ เมตร ค่าความเข้มรังสีอาทิตย์(Solar Constant, G_{sc}) คือ ค่าความเข้มของรังสีอาทิตย์ที่จะต่างกันซึ่งไม่เท่ากัน ค่าคงที่แสงอาทิตย์(Solar Constant, G_{sc}) คือ ค่าความเข้มของรังสีอาทิตย์ที่จะห่างเฉลี่ยระหว่างโลกกับดวงอาทิตย์ มีค่าประมาณ $1,367 \text{ W.m}^{-2}$

2.1.4 การเปลี่ยนแปลงของรังสีอาทิตย์ที่ตกรอบพื้นที่บนราษฎร์โลก

การที่ทำให้พลังงานแสงอาทิตย์ที่ตกรอบพื้นที่บนราษฎร์โลก(Extraterrestrial Radiation) ประการ ที่ทำให้พลังงานแสงอาทิตย์ที่ตกรอบพื้นที่บนราษฎร์โลก มีค่าไม่คงที่ คือ การเปลี่ยนแปลงค่ารังสีอาทิตย์ที่ปลดปล่อยจากดวงอาทิตย์และการเปลี่ยนแปลง ของระยะห่างระหว่างโลกกับดวงอาทิตย์ เนื่องจากการเปลี่ยนแปลงของพลังงานที่ปลดปล่อยมีค่า น้อยมาก ($\pm 1.5\%$) ดังนั้นการเปลี่ยนแปลงของระยะห่างระหว่างโลกกับดวงอาทิตย์ซึ่งเป็นเหตุเดียว ที่ทำให้พลังงานแสงอาทิตย์ที่ตกรอบพื้นที่บนราษฎร์โลกมีค่าไม่คงที่ สามารถเขียนความ สัมพันธ์ระหว่างพลังงานแสงอาทิตย์ที่ตกรอบพื้นที่หนึ่งหน่วยเนื้อที่บนราษฎร์โลก G_{on} ที่วัน ลำดับที่ n

$$G_{on} = G_{SC} \left[1 + 0.033 \cos\left(\frac{360n}{365}\right) \right] \quad (2.1)$$



รูปที่ 2.2 แสดงการเปลี่ยนแปลงของพลังงานแสงอาทิตย์ที่ต่อกระบทพื้นที่หนึ่งหน่วยตารางเมตร
เหนือบรรยายอากาศโลกในวันต่าง ๆ ตลอดทั้งปี

2.1.5 ประเภทของรังสีอาทิตย์ที่ผิวโลก

รังสีตรง (Beam or Direct Radiation) คือ รังสีที่มาจากการของอาทิตย์โดยตรงและตกลงบนผิวโลกและมีทิศทางแน่นอนที่เวลาใดเวลาหนึ่ง ทิศทางของรังสีตรงอยู่ในแนวลักษณะเดียวกับรังสีที่ส่องจากอาทิตย์

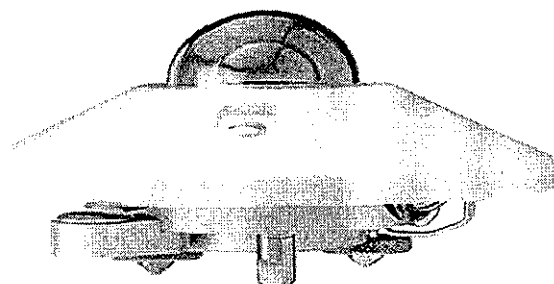
รังสีกระจาย (Diffuse Radiation) คือ รังสีส่วนที่ถูกสะท้อนจากบรรยายอากาศของโลก และวัตถุต่าง ๆ ที่อยู่ในทางเดินของแสงก่อนตกกระทบพื้นผิวโลกและ รังสีกระจายนี้มาจากทุกทิศทางของท้องฟ้า

รังสีรวม (Total or Global Radiation) คือ ผลรวมของรังสีตรงและรังสีกระจายที่ตกกระทบผิวโลกและ ในการณ์ที่ผิวโลกและเป็นพื้นอิ่ม รังสีรวมจะประกอบด้วยรังสีตรงจากท้องฟ้า รังสีกระจายจากท้องฟ้าและผิวโลก เรียกรังสีรวมนี้ว่า Total Radiation สำหรับกรณีที่ผิวโลกและเป็นพื้นราบ รังสีรวมจะมาจากครึ่งทรงกลมท้องฟ้าไม่มีส่วนที่มาจากผิวโลก เรียกรังสีรวมกรณีนี้ว่า Global Radiation

2.2 อุปกรณ์วัดรังสีอาทิตย์รวม

ไฟรานอมิเตอร์ (Pyranometer)

ไฟรานอมิเตอร์เป็นเครื่องมือวัดรังสีร้อน โดยทั่วไปจะประกอบด้วยตัวรับแสง(Detector) ที่ประกอบด้วยเทอร์โมไฟล์ (Thermopile) หลายชุดต่ออนุกรมกัน ตัวรับแสงบรรจุอยู่ในโดมแก้ว ครึ่งทรงกลม โดมแก้วนี้ทำหน้าที่เป็นตัวป้องกันตัวรับแสงจากฝุ่นและลม ซึ่งจะทำให้ตัวรับแสงสูญเสียความร้อนไปเนื่องจากการพาและการแผ่รังสี ปกติโดมแก้วจะมี 2 ชั้นทำด้วยแก้วพิเศษซึ่งจะต้องมีความหนาที่สม่ำเสมอเพื่อที่จะมีค่าให้เกิดการกระจายของรังสีที่ต่อกันระหว่างตัวรับแสง เทอร์โมไฟล์ ประกอบด้วยโลหะต่างชนิดเชื่อมติดกันอยู่ โลหะแต่ละชิ้นข้างหนึ่งชุบเคลือบด้วยสีดำและอีกด้านหนึ่งชุบด้วยสีขาวแล้วกันปะ โลหะด้านสีขาวจะมีคุณสมบัติจะห้อนรังสีอาทิตย์ที่กระทบ ส่วนโลหะด้านสีดำจะมีคุณสมบัติดูดกลืนรังสีอาทิตย์ที่กระทบ เมื่อรังสีตกกระทบจะก่อให้เกิดความแตกต่างของอุณหภูมิของผิวหั้งสอง เนื่องจากโลหะด้านหนึ่งดูดกลืนรังสีอาทิตย์ อีกข้างหนึ่งจะห้อนรังสีอาทิตย์ทำให้เกิดแรงดันไฟฟ้านึ่องจากปรากฏการณ์เทอร์โมอิเลคทริกโดยที่แรงดันไฟฟ้าที่เกิดขึ้นจะขึ้นอยู่กับความแตกต่างของอุณหภูมิโลหะขาวและดำ ความแตกต่างระหว่างอุณหภูมิจะขึ้นอยู่กับความเข้มแสงอาทิตย์ที่ต่อกันระหว่างตัวรับแสง แรงดันไฟฟ้าที่ได้จะมีค่าประมาณ $5-10 \text{ mV.cal}^{-1}.\text{cm}^{-2}.\text{min}^{-1}$ ได้โดยแก้วมีงานขาวส่วนอยู่ งานกลมนี้มีหน้าที่ป้องกันรังสีกระจายที่สะท้อนจากพื้นดินและลิงแวดล้อม เพื่อที่จะให้รังสีที่เข้าโดยเป็นรังสีที่มาจากครึ่งทรงกลมท้องฟ้าท่านี้



รูปที่ 2.3 แสดงเครื่องมือวัดรังสีอาทิตย์รวม

2.3 การถ่ายเทความร้อน^[4]

การถ่ายเทความร้อนมี 3 รูปแบบ คือ การนำความร้อน (Conduction) การพาความร้อน (Convection) และการแผ่รังสีความร้อน (Radiation)

การนำความร้อน (Conduction) เป็นการถ่ายเทความร้อนโดยการอาศัยการส่งถ่ายความร้อนผ่านตัวกลางเดียวกันหรือตัวกลางที่อยู่ติดกันจากด้านที่มีความร้อนสูงกว่าไปสู่ด้านที่มีความร้อนต่ำกว่าโดยตรง เช่น การถ่ายเทความร้อนผ่านผนังอาคารเนื่องจากอุณหภูมิภายในอาคารสูงกว่าอุณหภูมิภายในอาคาร การนำความร้อนจะเกิดขึ้นด้วยพลังงานของแสงอาทิตย์ที่กระทบต่อผนังอาคารและนำความร้อนไปสู่ภายในอาคาร

คุณสมบัติที่แสดงความสามารถของการนำความร้อนได้ดีหรือไม่ ก็คือการนำความร้อน(Thermal Conductivity) มีหน่วยเป็น W/m.K

สมการที่ใช้ในการคำนวณคือ

$$Q = -kA \frac{\partial T}{\partial x} \quad (2.2)$$

เครื่องหมายลบ หมายถึง ว่าทิศทางของการเคลื่อนที่ของ Q จะไปในทิศทางที่อุณหภูมิตกลงเสมอ

การพาความร้อน (Convection) การพาความร้อนเกิดขึ้นเมื่อของไหหล่อผ่านพื้นผิวของของแข็ง โดยที่ของไหจะเป็นตัวพาความร้อนมาให้ของแข็งหรือเป็นตัวนำพาความร้อนไปจากของแข็ง ขึ้นอยู่กับว่าสิ่งใดมีอุณหภูมิสูงกว่ากัน ยกตัวอย่างเช่น ของไหหล่ออากาศเย็นไหหล่อผ่าน heat sink ซึ่งเป็นพื้นผิวของของแข็ง จะเกิดการนำความร้อนจากพื้นของ heat sink ไปยังโน้มเลกุลของอากาศที่ไหหล่อผ่าน อากาศจะร้อนขึ้นและ heat sink จะเย็นลง แต่เนื่องจากว่าอากาศมีการไหหลอดเวลา ดังนั้น โน้มเลกุลของอากาศร้อนจะถูกแทนที่ด้วย โน้มเลกุลของอากาศเย็นตลอดเวลา ถ้าอากาศเย็นไหหลเร็วขึ้นความร้อนที่ heat sink ก็จะถูกระบายได้เร็วขึ้นเช่นกัน นอกจากนี้ถ้าพื้นที่ผิวสัมผัสระหว่าง heat sink และ อากาศ มีมากก็จะทำให้ความร้อนระบายได้เร็วขึ้นเช่นกัน อีกนัยหนึ่ง คือ เป็นการเคลื่อนไหวของอากาศตามธรรมชาติเมื่ออากาศสัมผัสถี่ว์ของวัสดุที่จะมีความหนาแน่น้อยลงและลอดผ่านวัสดุ อากาศที่เย็นและมีความหนาแน่นมากกว่าก็จะเคลื่อนตัวเข้ามานแทนที่ อากาศที่รับความร้อนจะนำความร้อนไปถ่ายให้กับบริเวณที่เย็นกว่า

สมการที่ใช้ในการคำนวณการเคลื่อนที่ของความร้อนด้วยการพาความร้อนคือ

$$Q = hA(T_{hot} - T_{cold}) \quad (2.3)$$

การแผ่รังสีความร้อน (Radiation) เป็นความร้อนโดยตรงจากดวงอาทิตย์ในลักษณะของคลื่นแม่เหล็กไฟฟ้าคล้าย ๆ คลื่นแสง เมื่อมีการกล่าวถึงการแผ่รังสี จะต้องมีการกล่าวถึงวัตถุดำ (Black body) วัตถุดำเป็นวัตถุสมบูรณ์ที่ตั้งขึ้นมาเพื่อให้วัตถุอื่นเปรียบเทียบความสามารถในการแผ่ความร้อน โดยที่วัตถุดำมีค่าการดูครังสีความร้อนที่ต่ำกว่า 1.0 ได้อย่างสมบูรณ์ วัตถุดำเป็นเพียงวัตถุในอุดมคติเท่านั้น วัตถุที่มีอยู่จริงทุกชนิดจะมีการสะท้อนรังสีบางส่วนออกไปเสมอ

ค่ารังสีอาทิตย์นี้จะไม่ทำให้อาหารอบ ๆ ตัวร้อนขึ้น แต่จะทำให้วัตถุที่ถูกกระทบจากคลื่นรังสีความร้อนนี้ร้อนขึ้นๆ และรังสีความร้อนนี้จะสามารถทะลุผ่านวัตถุทุกชนิดไปได้ เช่น เมื่อเรามองในอากาศเราจะรู้สึกว่าอากาศน้ำใจกว่าอากาศอื่น หรือหากนำอาหารมาไว้ในตู้เย็น เหล็กไปตากไว้กลางแดด โอละหนึ่งจะร้อนมากจนเราจับต้องไม่ได้ในขณะที่อุณหภูมิรอบๆ ตัวเรามีน้ำใจกว่าอุณหภูมิของโลกหนึ่งมาก

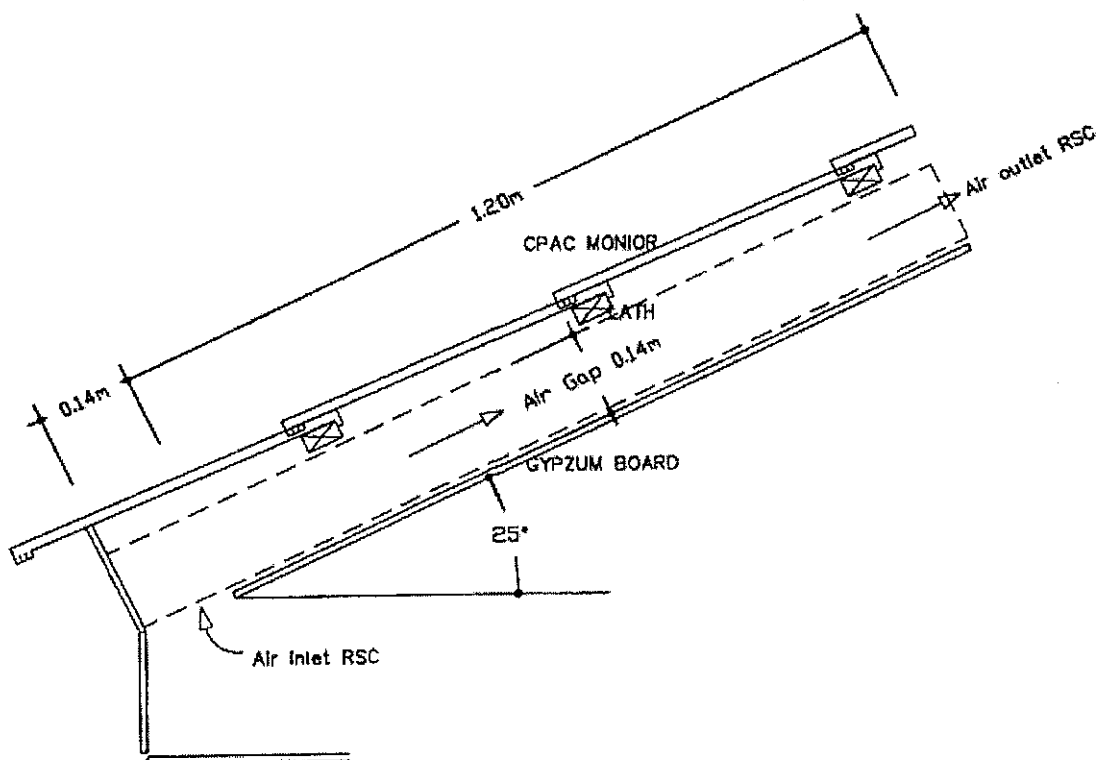
สมการที่ใช้ในการคำนวณการเคลื่อนที่ของความร้อนด้วยการแผ่รังสีคือ

$$Q = \epsilon \sigma A T^4 \quad (2.4)$$

2.4 หลังรับรังสีอาทิตย์แบบอาคารออกด้านข้าง (Roof Air Ventilation By Side-Opening SO-RSC)

หลังรับรังสีอาทิตย์แบบอาคารออกด้านข้าง (Roof Air Ventilation By Side-Opening SO-RSC) คือ หลังคาที่มีช่องว่างอากาศ ถัดลงมาจากแผ่นกระเบื้องซีเพ็ค โนบเนีย ทำหน้าที่เป็นช่องให้อากาศร้อนภายในช่องหลังคาอยู่ตัว ไอลอคสูตรช่องระบบอากาศด้านบน ช่องว่างอากาศนี้ เรียกว่า “ช่องSO-RSC” หลังคาที่มีช่องSO-RSC เรียกว่า “หลังคาแบบSO-RSC”

หลังคาแบบSO-RSCที่สร้างขึ้นเพื่อทำการทดลองมีลักษณะดังรูป 2.4 ด้านบนสุดเป็นแผ่นกระเบื้องซีเพ็ค โนบเนียหนา 15 mm. ถัดลงมาเป็นช่องว่างอากาศ 14 cm. เป็นทางเดินในการระบายอากาศภายในช่องหลังคาออกสู่ภายนอก และถัดมาเป็นแผ่นยิบชั่มบอร์ดหนา 9 mm. ช่องว่างอากาศ มีขนาดประมาณ 14 เซนติเมตร และหลังคาเอียงทำมุกกับแนวราวนี้เป็นมุก 25 องศา



รูป 2.4 แสดงการระบายอากาศแบบธรรมชาติของหลังรับรังสีอาทิตย์แบบอาคารออกด้านข้าง
(Roof Solar Collector, RSC)

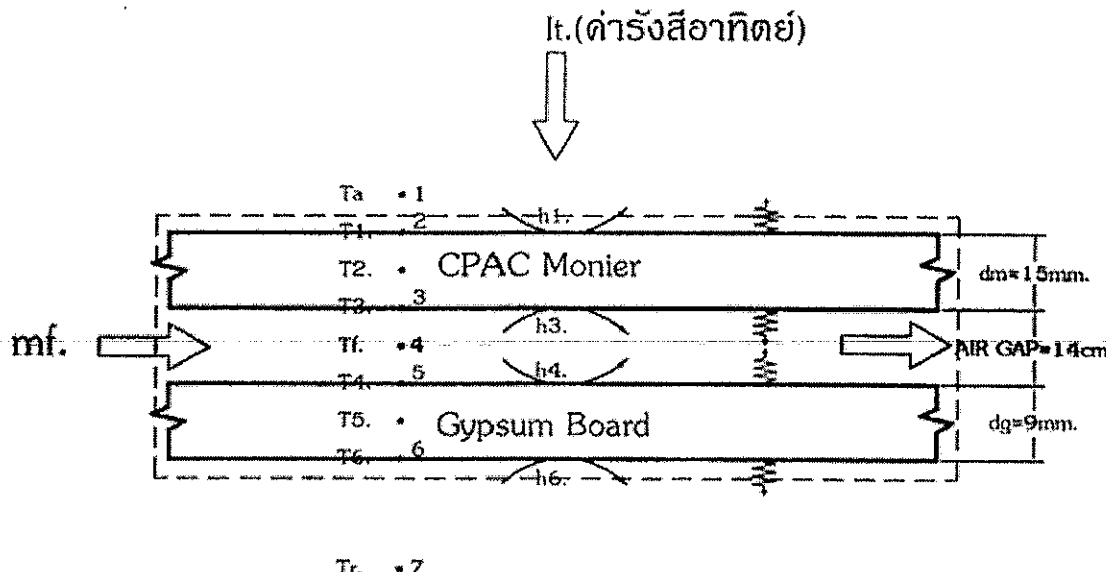
2.5 การวิเคราะห์การถ่ายเทความร้อนผ่านหลังคาบ้านทดลอง SO-RSC แบบอากาศอุ่นด้านข้าง

ในการถ่ายเทความร้อนที่เข้ามายังบ้านทดลอง SO-RSC แบบอากาศอุ่นด้านข้างเข้ามายังได้ 3 ทั้ง 3 รูปแบบ คือ การนำความร้อน การพาความร้อน และ การแพร่รังสีความร้อน โดยมีข้อสมมติฐานที่ใช้ในการวิเคราะห์การทำงานของหลังคา SO-RSC แบบอากาศอุ่นด้านข้าง ดังต่อไปนี้

1. การถ่ายเทความร้อนเป็นไปในทิศทางเดียว นิติ (จากผิวด้านนอกของแผ่นกระเบื้องซีเมนต์ โนเนียไอลเข้าสู่แผ่นยินชั่มนอร์ค)
2. เป็นการวิเคราะห์สภาวะการถ่ายเทความร้อนสำหรับสภาวะไม่สม่ำเสมอ (Unsteady state)
3. พิจารณาว่าการแผ่และการดูดกลืนรังสีอาทิตย์ของแผ่นกระเบื้องซีเมนต์ไมเนียมีค่าสมำเสมอ ทั้งแผ่น
4. พิจารณาว่าอุณหภูมิกายในช่องว่างของหลังคารับรังสีอาทิตย์มีการกระจายตัวอย่างเสมอที่ระดับความสูงเดียวกัน
5. พิจารณาว่าไม่มีผู้คนและคราบสกปรกบนหลังคารับรังสีอาทิตย์
6. พิจารณาว่าไม่มีการบังแสงบนหลังคารับรังสีอาทิตย์
7. พิจารณาว่าการรั่วไหลของอากาศออกเหนือจากช่องทางเดินอากาศของหลังคารับรังสีอาทิตย์นี้ค่าน้อยมาก
8. ไม่คิดผลของทิศทางลมภายนอกต่อการไหลของอากาศภายนอกช่องหลังคารับรังสีอาทิตย์
9. พิจารณาให้หลังคารับรังสีอาทิตย์เป็นเหมือนตัวรับรังสีอาทิตย์แบบแผ่นเรียน และไม่คิดผลของคาน
10. การสูญเสียความร้อนจากผิวด้านหน้า และด้านข้างกับด้านหลังของหลังคารับรังสีอาทิตย์ คิดเทียบกับอุณหภูมิแวดล้อมเดียวกัน
11. ให้อุณหภูมิกายในช่องหลังคาเท่ากับอุณหภูมิถึงแวดล้อม
12. สมบัติของวัสดุมีค่าคงที่ไม่ขึ้นอยู่กับอุณหภูมิ
13. สมบัติทางความร้อนของอากาศขึ้นอยู่กับอุณหภูมิ

2.6 แบบจำลองทางคณิตศาสตร์ของหลังคารับรังสีอาทิตย์แบบอากาศอุ่นด้านข้าง⁽¹⁾

จากรูปที่ 2.5 และข้อสมมติฐานข้างต้นเราสามารถสร้างสมดุลพลังงานของแต่ละส่วนของหลังคารับรังสีอาทิตย์ และสามารถสร้างแบบจำลองทางคณิตศาสตร์ “ได้โดยใช้วิธีไฟน์ดิฟเฟอร์เรนซ์ (Finite-Difference method) แบบเอกซ์พิซิท (Explicit method) ดังนี้



รูปที่ 2.5 แสดงการถ่ายเทความร้อนผ่านช่องหลังคารับรังสีอาทิตย์

(Nodes and heat transfer exchange through the SO-RSC)

2.6.1 แบบจำลองทางคณิตศาสตร์ของแผ่นกระเบื้องซีแพคโภมเนียม

สมการแสดงสมดุลย์พลังงานของแผ่นกระเบื้องซีแพคโภมเนียม สามารถเขียนได้เป็น

- ที่ตำแหน่ง $x_m = 0$

$$\left\{ \begin{array}{l} \text{Heat gain} \\ \text{By Radiation} \end{array} \right\} + \left\{ \begin{array}{l} \text{Heat convection} \\ \text{to the air} \end{array} \right\} + \left\{ \begin{array}{l} \text{Heat emitted} \\ \text{from CpacMonier} \end{array} \right\} + \left\{ \begin{array}{l} \text{Heat gain} \\ \text{By convection} \end{array} \right\} = \left\{ \begin{array}{l} \text{Rate of increase} \\ \text{of internal energy} \end{array} \right\}$$

$$\alpha c I_t + h_1 (T_a - T_1) + \varepsilon_m \sigma (T_a^4 - T_1^4) + k_m \frac{\partial T_m}{\partial x_m} = \rho_m C_m \frac{\Delta X_m}{2} \frac{\partial T_1}{\partial t} \quad (2.5)$$

$$\text{โดย } k_m \frac{\partial T_m}{\partial x_m} = k_m \frac{(T_2 - T_1)}{\Delta x_m}$$

- สมการสมดุลย์ภายในแผ่นกระเบื้องซีแพค โนเนียที่ $0 < x_m < d_m$
หลักการของการถ่ายเทความร้อนผ่านแผ่นสีเหลี่ยมที่มีสมการเป็น

$$\left\{ \begin{array}{l} \text{Convection from} \\ \text{from Air Flow} \end{array} \right\} + \left\{ \begin{array}{l} \text{Heat emitted from} \\ \text{two pararell plate} \end{array} \right\} + \left\{ \begin{array}{l} \text{Heat gain} \\ \text{By Conduction} \end{array} \right\}$$

$$= \left\{ \begin{array}{l} \text{Rate of increase} \\ \text{of internal energy} \end{array} \right\}$$

$$\frac{\partial}{\partial x} \left(k_m \frac{\partial T_m}{\partial x} \right) + g' = \rho_m \cdot C_m \frac{\partial T_m(x,t)}{\partial t}$$

No energy source in medium $g' = 0$, $k_m = \text{constant}$

ดังนั้นจะได้

$$\frac{\partial T_m(x,t)}{\partial t} = \alpha_m \frac{\partial^2 T_m}{\partial x^2} \quad (2.6)$$

$$\text{เมื่อ } \alpha_m = \frac{k_m}{\rho_m C_m}$$

- สมการสมดุลย์บริเวณพิวด้านในแผ่นกระเบื้องซีแพค โนเนียที่ตำแหน่ง $x_m = d_m$

$$\left\{ \begin{array}{l} \text{Convection from} \\ \text{from Air Flow} \end{array} \right\} + \left\{ \begin{array}{l} \text{Heat emitted from} \\ \text{two pararell plate} \end{array} \right\} + \left\{ \begin{array}{l} \text{Heat gain} \\ \text{By Conduction} \end{array} \right\}$$

$$= \left\{ \begin{array}{l} \text{Rate of increase} \\ \text{of internal energy} \end{array} \right\}$$

$$h_3(T_A - T_3) + \sigma \frac{(T_4^4 - T_3^4)}{\frac{1}{\epsilon_m} + \frac{1}{\epsilon_g} - 1} + k_m \frac{\partial T_m}{\partial x_m} = \rho_m C_m \frac{\Delta x_m}{2} \frac{\partial T_3}{\partial t} \quad (2.7)$$

เมื่อ

$$T_A = T_f = \frac{T_o + T_i}{2} \quad (2.8)$$

2.6.2 แบบจำลองคณิตศาสตร์ของอากาศในช่องว่างระหว่างแผ่นกระเบื้องซีแพคไมเนียกับแผ่นยิบชั่มบอร์ด

$$\left\{ \begin{array}{l} \text{Convection By} \\ \text{Air Flow to} \\ \text{Capac Monier} \end{array} \right\} + \left\{ \begin{array}{l} \text{Convection By} \\ \text{Air Flow to} \\ \text{Gypsum Board} \end{array} \right\} + \left\{ \begin{array}{l} \text{Energy Removed} \\ \text{By the Air By} \\ \text{Convection} \end{array} \right\} = 0$$

$$h_3(T_3 - T_A) + h_4(T_4 - T_A) + \frac{m_A}{A} \cdot C_p (T_i - T_o) = 0 \quad (2.9)$$

อัตราการไหลเชิงมวลของอากาศภายในช่องว่างระหว่างแผ่นกระเบื้องซีแพคไมเนียกับแผ่นยิบชั่มบอร์ด

$$m_A = \rho_a \cdot Gap \cdot W \cdot \bar{V} \quad (2.10)$$

จากโครงการวิจัยเรื่อง “การศึกษาความเป็นไปได้ของการใช้ผนัง Trombe Wall แบบดัดแปลงเพื่อการระบบอากาศตามธรรมชาติภายในบ้านพักอาศัย” ของ นาย เจริญพร เลิศสถาตนกร ค/o.b.(ครึ่งกล) สถาบันเทคโนโลยีพระจอมเกล้าธนบุรี^(๖) สมการความเร็วเฉลี่ยของอากาศภายในช่องหลังคารับรังสีอาทิตย์ระหว่างแผ่นกระเบื้องซีแพคไมเนียกับแผ่นยิบชั่มบอร์ด คือ

$$\bar{V} = C_d \cdot \left[g \cdot H \cdot \sin \theta \cdot \frac{(T_o - T_i)}{T_i} \right]^{1/2} \quad (2.11)$$

สำหรับการคำนวณอัตราการไหลเชิงปริมาตรของอากาศภายในช่องหลังคา SO-RSC เนื่องจากแรงดึงดูด (Air flow due to stack effect)

$$Q_s = C_d \cdot Gap \cdot W \cdot \left[g \cdot H \cdot \sin \theta \cdot \frac{(T_o - T_i)}{T_i} \right]^{1/2} \quad (2.12)$$

2.6.3 แบบจำลองทางคณิตศาสตร์ของแผ่นยิบซัมบอร์ด

สมการสมดุลย์พัฒนาบริเวณผิวค้านหน้าของแผ่นยิบซัมบอร์ด สามารถเขียนได้เป็น

- ที่ตำแหน่ง $x_g = 0$

$$\begin{aligned}
 & \left\{ \begin{array}{l} \text{Convection from} \\ \text{from Air Flow} \end{array} \right\} + \left\{ \begin{array}{l} \text{Heat emitted from} \\ \text{two pararell plate} \end{array} \right\} + \left\{ \begin{array}{l} \text{Heat gain} \\ \text{By Conduction} \end{array} \right\} \\
 &= \left\{ \begin{array}{l} \text{Rate of increase} \\ \text{of internal energy} \end{array} \right\} \\
 h_4(T_f - T_4) + \sigma \frac{\left(T_3^4 - T_4^4 \right)}{\frac{1}{\varepsilon_m} + \frac{1}{\varepsilon_g} - 1} + k_g \cdot \frac{\partial T_g}{\partial x_g} &= \rho_g C_g \frac{\Delta x_g}{2} \cdot \frac{\partial T_4}{\partial t} \quad (2.13)
 \end{aligned}$$

- ที่ตำแหน่ง $0 < x_g < d_g$

$$\begin{aligned}
 & \left\{ \begin{array}{l} \text{Convection from} \\ \text{from Air Flow} \end{array} \right\} + \left\{ \begin{array}{l} \text{Heat emitted from} \\ \text{two pararell plate} \end{array} \right\} + \left\{ \begin{array}{l} \text{Heat gain} \\ \text{By Conduction} \end{array} \right\} \\
 &= \left\{ \begin{array}{l} \text{Rate of increase} \\ \text{of internal energy} \end{array} \right\} \\
 \frac{\partial}{\partial x} \left(k_g \frac{\partial T_g}{\partial x} \right) + g' &= \rho_g C_g \frac{\partial T_g(x,t)}{\partial t} \quad (2.14)
 \end{aligned}$$

heat conduction with no energy sources $g' = 0, k_g = \text{const.}$

$$\begin{aligned}
 \therefore k_g \cdot \frac{\partial^2 T_g}{\partial x^2} &= \rho_g C_g \frac{\partial T_g(x,t)}{\partial t} \\
 \text{หรือ} \quad \frac{\partial T_g(x,t)}{\partial t} &= \alpha_g \frac{\partial^2 T_g}{\partial x^2} \quad (2.14)
 \end{aligned}$$

$$\text{โดยที่} \quad \alpha_g = \frac{k_g}{\rho_g C_g}$$

- $\hat{n} x_g = d_g$

$$\begin{aligned}
 & \left\{ \begin{array}{l} \text{Heat Convection} \\ \text{By Air Flow} \end{array} \right\} + \left\{ \begin{array}{l} \text{Heat Radiation} \\ \text{By Two Pararell Plate} \end{array} \right\} + \left\{ \begin{array}{l} \text{Heat Gain} \\ \text{By Conduction} \end{array} \right\} \\
 & = \left\{ \begin{array}{l} \text{Rate of increase} \\ \text{of internal energy} \end{array} \right\} \\
 h_b(T_r - T_b) + \epsilon_g \sigma (T_r^4 - T_b^4) + k_g \frac{\partial T_g}{\partial x_g} & = \rho_g \epsilon_g \frac{\Delta x_g}{2} \frac{\partial T_b}{\partial t} \quad (2.15)
 \end{aligned}$$

ค่าสัมประสิทธิ์การพาความร้อนต่าง ๆ มีรายละเอียดการคำนวณดังต่อไปนี้

- สัมประสิทธิ์การพาความร้อนจากผิวด้านบนของแผ่นกระเบื้องซีแพค โนเนียชั่งถูกกระทำโดย ลูนช์สามารถหาความสัมพันธ์จากสมการความสัมพันธ์ของ Loveday ดังนี้

$$h_1 = 3.0 + 7.4\sqrt{V} \quad (2.16)$$

V = ความเร็วลมเฉลี่ยอากาศเวดล้อมมีค่าประมาณ 1.5m/s

- สัมประสิทธิ์การพาความร้อนระหว่างแผ่นกระเบื้องซีแพค โนเนียกับอากาศในช่อง Air gap (h_3) มีค่าเท่ากับสัมประสิทธิ์การพาความร้อนระหว่างแผ่นขึ้นบอร์ดกับอากาศในช่อง Air gap (h_4) นั้นสามารถใช้ความสัมพันธ์ของ Nusselt Number แบบ Free Convection หรือ Natural Convection ดังสมการ

$$\begin{aligned}
 Nu &= \frac{h \cdot D_h}{k} \\
 \therefore h_3 &= \frac{Nu \cdot k_f}{D_h} \quad (2.17) \\
 D_h &= \frac{4A}{P} \\
 P &= 2(W + Gap)
 \end{aligned}$$

$$Nu = 1 + \left\{ 0.071(Gr \cdot Pr)^{1/3} \left[\frac{H}{D_h} \right]^{-1/9} - 1 \right\} \cdot \sin \theta \quad (2.18)$$

$$Gr = \frac{g \cdot \beta' \cdot \Delta T \cdot H^3}{v^2} \quad (2.19)$$

เมื่อ

$$\beta' = \frac{I}{T_f}$$

- สัมประสิทธิ์การพากความร้อนจากผิวค้านถ่างของแผ่นอิบซั่มนอร์ด สามารถหาได้จากสมการ

$$h_6 = 1.42 [\sin \theta \cdot (T_6 - T_r) / H]^{0.25} \quad (2.20)$$

2.7 การวิเคราะห์โดยวิธีเชิงตัวเลข (Numerical method)

สำหรับการวิเคราะห์ปัญหาของการนำความร้อนภายในเนื้อวัสดุ ที่อยู่ในสภาพที่ไม่คงที่ (Transient) ซึ่งอุณหภูมิเป็นฟังก์ชันของตำแหน่งและเวลา เป็นเรื่องที่ยุ่งยากซับซ้อน ดังนั้นจึงต้องนำเอาวิธีเชิงตัวเลข (Numerical method) มาช่วยในการแก้ปัญหาโดยจะเลือกใช้วิธีที่เรียกว่า “Finite-difference” แบบ Explicit

2.7.1 แบบจำลองทางคณิตศาสตร์ของหลังคารับรังสีอาทิตย์รูปแบบ Explicit Finite-Difference

การคำนวณอุณหภูมิสำหรับทุก ๆ โหนดของหลังคารับรังสีอาทิตย์จะประมาณจากสมการต่อไปนี้

จากรูปที่ 2.5 แสดงการถ่ายเทความร้อนผ่านช่องหลังคารับรังสีอาทิตย์

- สำหรับ(node 1) ด้านบนแผ่นกระเบื้องซีแพค โมเนีย

$$\alpha \cdot I_t + h_l (T_a^i - T_l^i) + \varepsilon_m \cdot \sigma \cdot (T_a^{i4} - T_l^{i4}) + k_m \cdot \frac{(T_2^i - T_l^i)}{\Delta x_m} = \rho_m C_m \cdot \frac{\Delta x_m}{2} \cdot \frac{(T_l^{i+1} - T_l^i)}{\Delta t}$$

จัดรูปสมการใหม่จะได้เป็น

$$T_l^{i+1} = \frac{2 \cdot \Delta t}{\rho_m C_m \Delta x_m} \left[\alpha \cdot I_t + h_l (T_a^i - T_l^i) + \varepsilon_m \cdot \sigma \cdot (T_a^{i4} - T_l^{i4}) + \frac{k_m}{\Delta x_m} (T_2^i - T_l^i) \right] + T_l^i$$

หรือ

$$T_l^{i+1} = 2 \cdot r_m \cdot \frac{\Delta x_m}{k_g} \left[\alpha \cdot I_t + h_l (T_a^i - T_l^i) + \varepsilon_m \cdot \sigma \cdot (T_a^{i4} - T_l^{i4}) + \frac{k_m}{\Delta x_m} (T_2^i - T_l^i) \right] + T_l^i \quad (2.21)$$

เมื่อ

$$\alpha_m = \frac{k_m}{\rho_m C_m}$$

$$r_m = \alpha_m \cdot \frac{\Delta t}{\Delta x^2} = \frac{k_m}{\rho_m C_m} \cdot \frac{\Delta t}{\Delta x^2}$$

- สำหรับ(node 2) ภายในเนื้อแผ่นกระเบื้องซีแพค โนนเนี่ย

$$\begin{aligned}\frac{\partial T_m(x,t)}{\partial t} &= \alpha_m \frac{\partial^2 T_m}{\partial x^2} \\ \frac{T_m^{i+1} - T_m^i}{\Delta t} &= \alpha \frac{T_m^i - 2T_m^i + T_{m+1}^i}{(\Delta x)^2}\end{aligned}$$

จัดรูปใหม่จะได้

$$T_2^{i+1} = r_m (T_1^i + T_3^i) + (1 - 2r_m) T_2^i \quad (2.22)$$

- สำหรับ(node 3) ด้านล่างแผ่นกระเบื้องซีแพค โนนเนี่ย

$$\begin{aligned}h_3(T_f - T_3) + \sigma \frac{\frac{(T_4^4 - T_3^4)}{1} + \frac{k_m}{\Delta x_m} \frac{\partial T_m}{\partial x_m}}{\frac{\epsilon_m}{\epsilon_g} + \frac{1}{1} - 1} &= \rho_m C_m \frac{\Delta x_m}{2} \frac{\partial T_3}{\partial t} \\ h_3(T_f^i - T_3^i) + \sigma \frac{\frac{(T_4^{i4} - T_3^{i4})}{1} + \frac{k_m}{\Delta x_m} (T_2^i - T_3^i)}{\frac{\epsilon_m}{\epsilon_g} + \frac{1}{1} - 1} &= \rho_m C_m \frac{\Delta x_m}{2} \frac{(T_3^{i+1} - T_3^i)}{\Delta t}\end{aligned}$$

หรือจัดให้อยู่ในรูปของ Explicit Finite Difference Form

$$T_3^{i+1} = 2r_m \cdot \frac{\Delta x_m}{k_m} \left[h_3 \left(T_A^i - T_3^i \right) + \sigma \cdot \frac{\left(T_4^{i4} - T_3^{i4} \right)}{\frac{\epsilon_m}{\epsilon_g} + \frac{1}{1} - 1} + \frac{k_m}{\Delta x_m} \cdot (T_2^i - T_3^i) \right] + T_3^i \quad (2.23)$$

- สำหรับ(node 4) ด้านบนแผ่นบีปชั้นบอร์ด

$$T_4^{i+1} = 2 \cdot r_g \cdot \frac{\Delta x_g}{k_g} \left[h_4 (T_A^i - T_4^i) + \sigma \cdot \frac{\left(T_3^{i4} - T_4^{i4} \right)}{\frac{1}{\varepsilon_m} + \frac{1}{\varepsilon_g} - 1} + \frac{k_g}{\Delta x_g} (T_5^i - T_4^i) \right] + T_4^i \quad (2.24)$$

- สำหรับ(node 5) ภายในเนื้อแผ่นบีปชั้นบอร์ด

$$T_5^{i+1} = r_g (T_4^i + T_6^i) + (1 - 2r_g) T_5^i \quad (2.25)$$

- สำหรับ(node 6) ด้านล่างแผ่นบีปชั้นบอร์ด

$$h_6 (T_r - T_6) + \varepsilon_g \sigma (T_r^4 - T_6^4) + k_g \frac{\partial T_g}{\partial x_g} = \rho_g C_g \frac{\Delta x_g}{2} \frac{\partial T_6}{\partial t}$$

$$T_6^{i+1} = 2 \cdot r_g \cdot \frac{\Delta x_g}{k_g} \left[h_6 (T_A^i - T_6^i) + \varepsilon_g \sigma (T_r^{i4} - T_6^{i4}) + \frac{k_g}{\Delta x_g} (T_5^i - T_6^i) \right] + T_6^i \quad (2.26)$$

- สำหรับช่องว่างอากาศ (Air gap)

$$h_3 (T_3 - T_A) + h_4 (T_4 - T_A) + \frac{m_A}{A} \cdot C_p (T_i - T_o) = 0$$

แทนค่า $T_A = \frac{T_i + T_o}{2} \Rightarrow T_o = 2T_A - T_i$

จะได้เป็น

$$h_3 (T_3 - T_A) + h_4 (T_4 - T_A) + \frac{m_A}{A} \cdot C_p (T_i - (2T_A - T_i)) = 0$$

เนื่องจาก $h_3 = h_4 = h_c$ จัดรูปสมการใหม่จะได้เป็น

$$T_A = \frac{h_c (T_3 - T_4) + 2 \frac{m_A}{A} C_p T_i}{2h_c + 2 \frac{m_A}{A} C_p}$$

หรือ

$$T_A^{i+1} = \frac{h_c (T_3^i - T_4^i) + 2 \frac{m_A^i}{A} C_p T_i^i}{2h_c + 2 \frac{m_A^i}{A} C_p} \quad (2.27)$$

- อัตราการไหลภายในช่องระหว่างแผ่นกระเบื้องซีเพคไมเนียกับแผ่นยิบชั่มนอร์ด

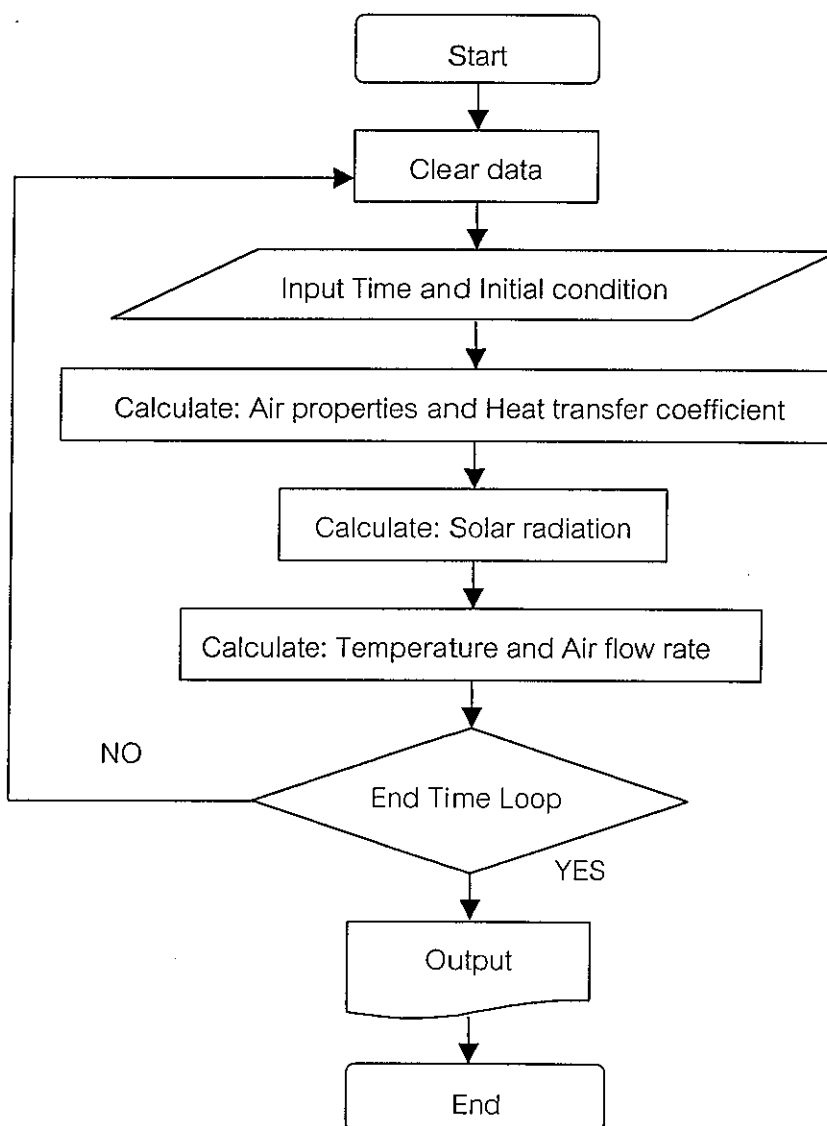
$$Q_s^{i+1} = C_d \cdot Gap \cdot W \cdot \left[g \cdot H \cdot \sin \theta \cdot \frac{(T_A^i - T_i^i)}{T_i^i} \right]^{1/2} \quad (2.28)$$

การคำนวณสมรรถนะการทำงานของหลังแบบ SO-RSC นี้จะใช้แบบจำลองทางคณิตศาสตร์ที่กล่าวมาแล้วข้างต้น ร่วมกับคุณสมบัติของอาคารที่เขียนอยู่กับอุณหภูมิ [ภาคผนวก ค.] และโปรแกรมแบบจำลองทางคณิตศาสตร์ที่สร้างขึ้นสำหรับใช้ในการคำนวณนี้ [ภาคผนวก ฉ.]

2.7.2 การทำงานของโปรแกรมแบบจำลองทางคณิตศาสตร์

การทำงานของโปรแกรมแบบจำลองทางคณิตศาสตร์จะเริ่มต้นทำงานเมื่อมีการใส่เงื่อนไขเริ่มต้น คือ ค่าความเข้มแสงอาทิตย์ อุณหภูมิบรรยายกาศ และระยะเวลาที่ต้องการทราบค่าอุณหภูมิจากนั้นโปรแกรมจะเริ่มทำการคำนวณ คุณสมบัติของอากาศ ค่าสัมประสิทธิ์การพาความร้อน ค่าการแผ่รังสีอาทิตย์ อัตราการไหหล 以及 อุณหภูมิที่ต้องการ เป็นอันเสร็จสิ้นการทำงานของโปรแกรม ค่าที่คำนวณได้ถูกต้องจะแสดงบนหน้าจอ แต่หากไม่ถูกต้องจะต้องกลับไปเคลียร์ข้อมูลและป้อนอีกครั้ง

การทำงานของโปรแกรมแบบจำลองทางคณิตศาสตร์สามารถแสดงได้ดังรูป



รูปที่ 2.6 แสดง Flow chart สำหรับโปรแกรมแบบจำลองทางคณิตศาสตร์ของหลังคาแบบ SO-RSC